

Белорусский государственный медицинский университет
Кафедра морфологии человека
Минск 2025

ОСОБЕННОСТИ АНАТОМИЧЕСКОГО СТРОЕНИЯ РЕТРОМОЛЯРНОГО ТРЕУГОЛЬНИКА НИЖНЕЙ ЧЕЛЮСТИ КАК ДОПОЛНИТЕЛЬНОГО ЦЕЛЕВОГО ПУНКТА МЕСТНОГО ОБЕЗБОЛИВАНИЯ В СТОМАТОЛОГИИ

Авторы: Ахрем М. Ю., 1 курс, стоматологический факультет
Ровнейко О. П., 1 курс, стоматологический факультет

Научный руководитель: к.б.н., доцент Юшкевич Е. В.



ЦЕЛИ И ЗАДАЧИ:

- 01** Проанализировать анатомические особенности строения ретромолярного треугольника
- 02** Определить среднюю площадь ретромолярных треугольников
- 03** Выявить частоту встречаемости ретромолярного канала
- 04** Определить значение ретромолярного треугольника как целевого пункта проведения местной анестезии.

МАТЕРИАЛЫ И

МЕТОДЫ

Проанализированы литературные данные за последние 10 лет с таких источников как PubMed, Elibrary, Google scholar, SpringerLink, ScienceDirect. Mediasphera.

Проведены измерения ретромолярного треугольника на **17** НИЖНИХ челюстях при помощи штангенциркуля, циркуля и линейки

Измерены следующие параметры:

1. ширина
2. высота

Рассчитана площадь ретромолярных треугольников



рис. 1 - Нижние челюсти

ВВЕДЕНИЕ

ГРАНИЦЫ ТРЕУГОЛЬНИКА

- дистальная поверхность третьего моляра (при его наличии)
- с вестибулярной стороны — латеральная ножка височного гребня
- с язычной стороны — медиальная ножка височного гребня, переходящая в щечный гребень



рис. 2 - Ретромлярный треугольник. 3D.

1-щечный гребень

2-латеральная ножка височного гребня

3-задняя поверхность коронки последнего моляра

4-ретромолярная ямка

5-наружная косая линия

РЕТРОМОЛЯРНЫЙ КАНАЛ

В нижней челюсти в ретромолярном пространстве наблюдаются отверстия с непостоянной топографией и переменным строением ретромолярных каналов, которые содержат ветви основного сосудисто-нервного пучка.

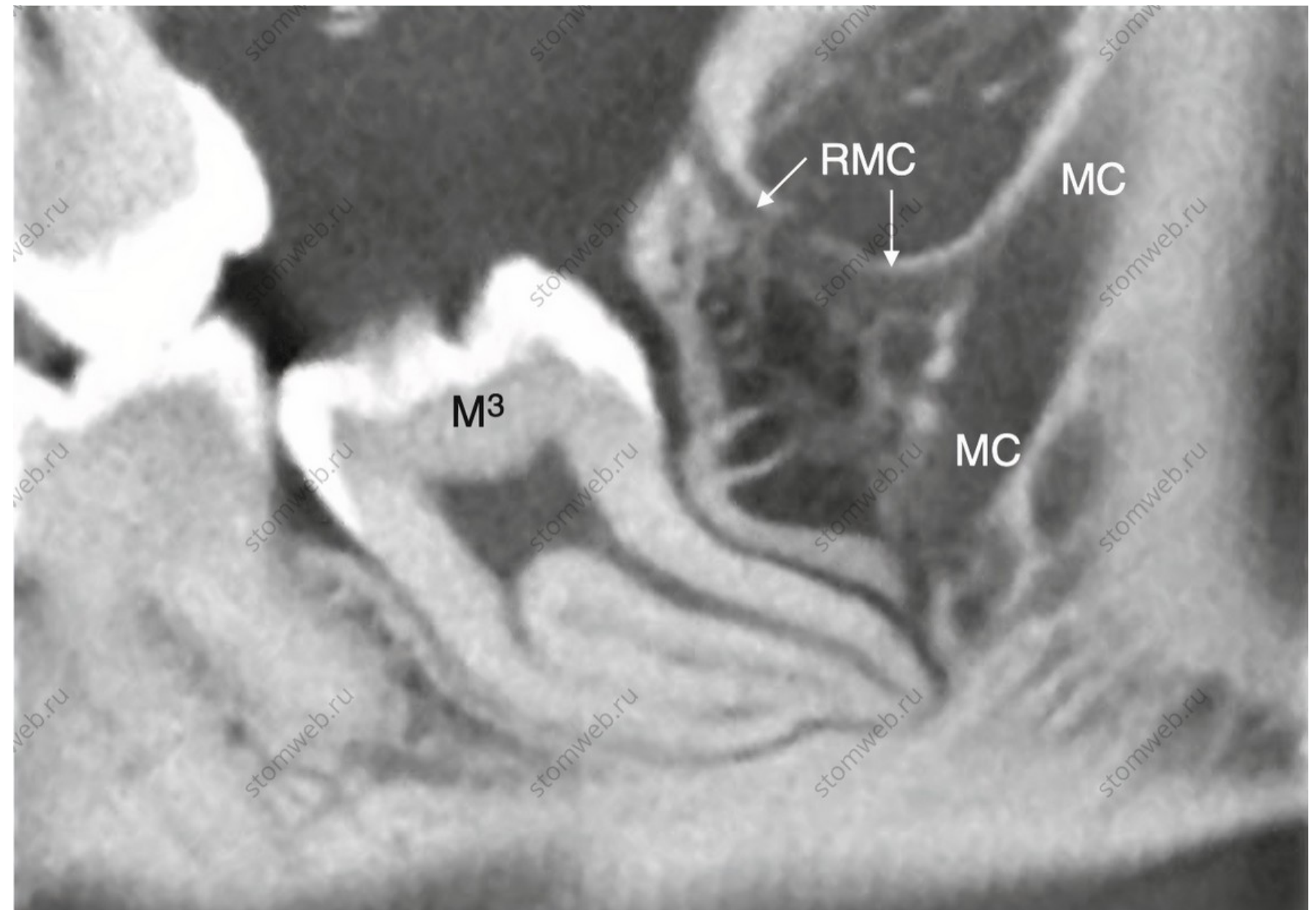


рис. 3 - Левый ретромолярный канал (снимок КЛКТ)

M3 - третий моляр

MC - нижнечелюстной канал

RMC - ретромолярный канал

ВИДЫ РЕТРОМОЛЯРНЫХ КАНАЛОВ

- Ретромолярный канал берет начало из нижнечелюстного канала и направляется к ретромолярной ямке по прямой (**тип A1**) или изогнутой (**тип A2**) траектории.
- **Тип B** - ретромолярный канал идет между ретромолярной ямкой к корневой части третьего моляра, не соединяясь с нижнечелюстным каналом.
- **Тип C** - ретромолярный канал берет начало из нижнечелюстного отверстия и направляется вперед к ретромолярной ямке.

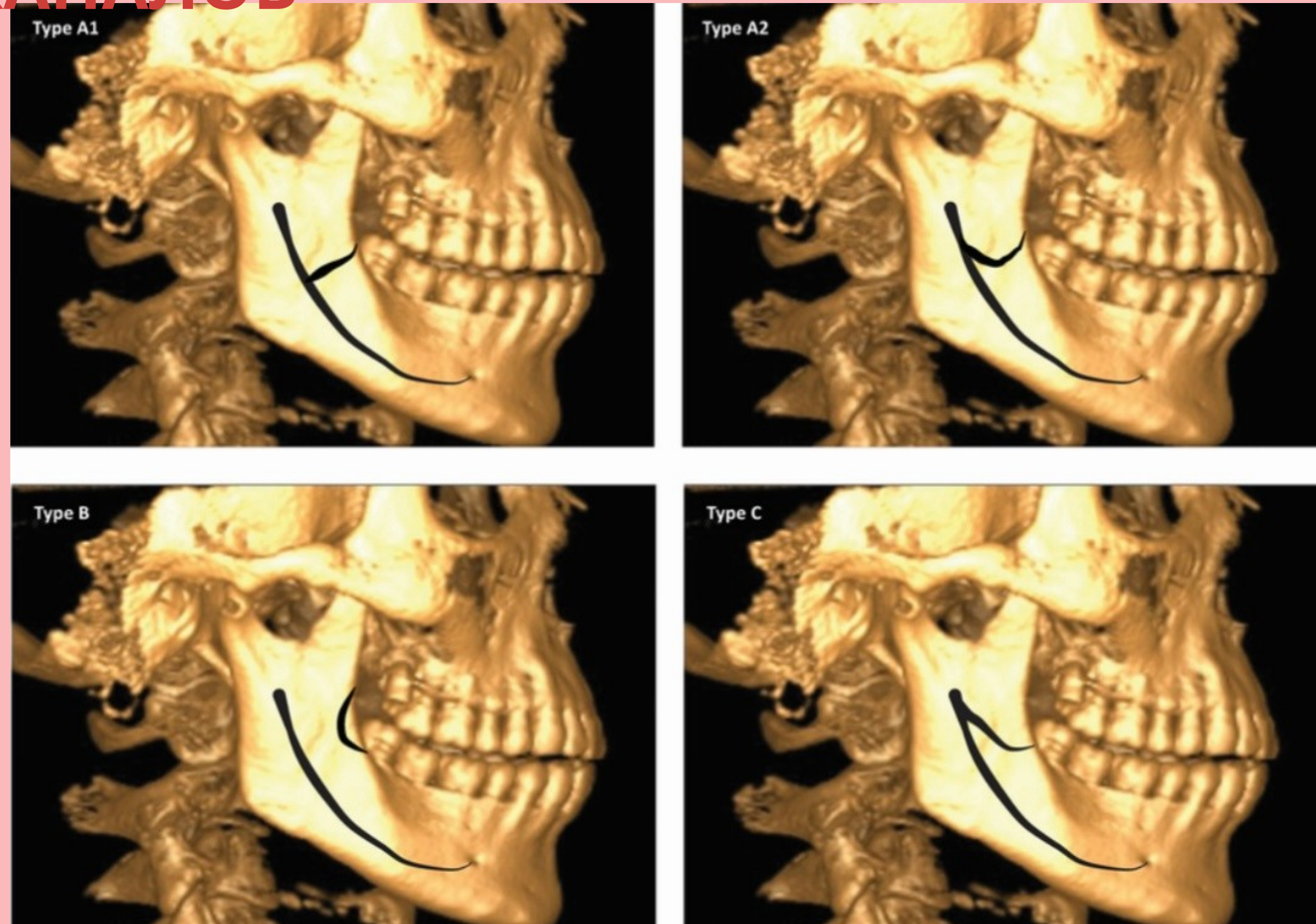


рис. 4 - Виды ретромолярных каналов

ИЗМЕРЕНИЕ РЕТРОМОЛЯРНОГО ТРЕУГОЛЬКА

Измеряли **высоту** и **основание (ширину)** ретромолярного треугольника

Используя данные значения, высчитывали площадь треугольника по формуле:

$$S = \frac{1}{2} ah$$



рис. 5 - Измерения ретромолярного треугольника



 **a** - основание (ширина) треугольника
 **h** - высота треугольника



рис. 6 - Метод измерения ретромолярного треугольника

РЕТРОМОЛЯРНЫЕ ОТВЕРСТИЯ



рис. 7 - Ретромолярное отверстие (1 в треугольнике)



рис. 8 - Ретромолярное отверстие (2 в треугольнике)



рис. 9 - Ретромолярное отверстие (2 в ямке)

РЕЗУЛЬТАТЫ

ИЗМЕРЕНИЯ

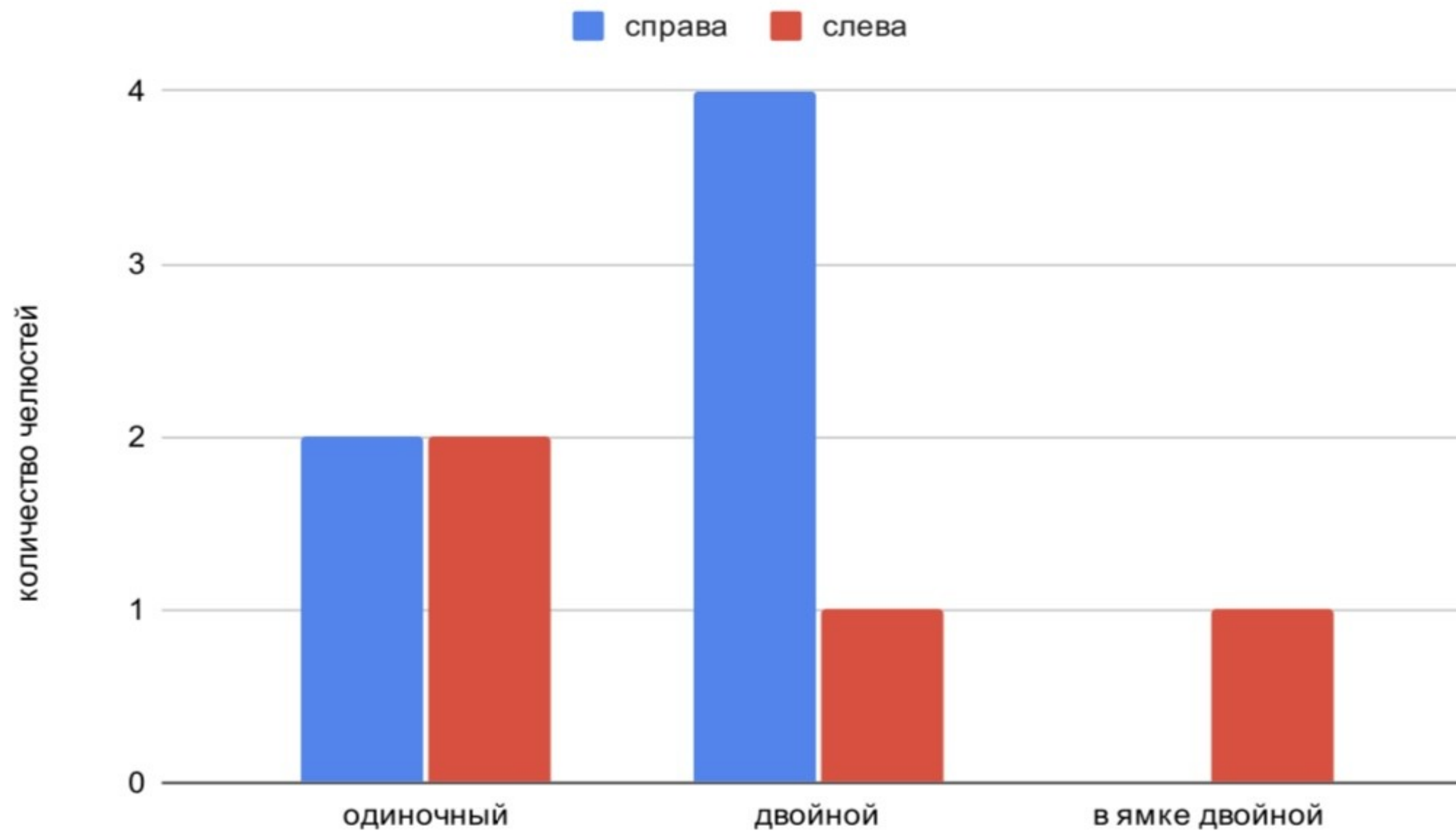
№	ВЫСОТА, ММ		ШИРИНА (ОСНОВАНИЕ), ММ		ПЛОЩАДЬ, ММ ²		НАЛИЧИЕ РЕТРОМОЛЯРНОГО КАНАЛА	
	слева	справа	слева	справа	слева	справа	слева	справа
1	11,4	12,6	8,5	8,1	48,5	51	-	2
2	10,8	15,4	8,7	8,6	47	68	-	1
3	11	13	8,9	9,1	49	59	-	-
4	10	-	6	-	30	-	1	-
5	8,9	12,4	6,78	9,9	30,26	61,38	-	-
6	9,6	11	6,3	6,2	30,24	34,1	-	-
7	7,3	9,8	6,4	8	46,72	39,2	1	2
8	-	8	-	5,1	-	20,4	-	-
9	9,9	8,6	7	7,5	34,65	32,25	2(в ямке)	-

РЕЗУЛЬТАТЫ

ИЗМЕРЕНИЯ

№	ВЫСОТА, ММ		ШИРИНА (ОСНОВАНИЕ), ММ		ПЛОЩАДЬ, ММ ²		НАЛИЧИЕ РЕТРОМОЛЯРНОГО КАНАЛА	
	слева	справа	слева	справа	слева	справа	слева	справа
10	-	8,8	-	6,2	-	27,28	-	-
11	8,9	10	5,4	7,6	24,3	38	-	-
12	-	10,5	-	6,4	-	33,6	-	-
13	7,9	11	6,8	8	26,86	44	-	2
14	-	14	-	7,2	-	50,4	-	-
15	13,5	13,2	10	8,5	67,5	56,1	2	2
16	9,5	9	9	9,6	42,75	43,2	-	-
17	8,4	9	6,5	8,2	27,3	36,9	-	1

Диаграмма встречаемости ретромолярного канала



ВЫВОДЫ

- 01** Границами ретромолярного треугольника служат ножки височного гребня и дистальная поверхность 3-го моляра, что соответствует литературным данным.
- 02** Средняя площадь ретромолярного треугольника составила 43,46 мм² и 39,59 мм² с правой и левой сторон соответственно (правая>левая в 1,1 раз)
- 03** В 47 % случаев нижние челюсти имеют ретромолярные каналы
- 04** Большая площадь ретромолярного треугольника улучшает визуализацию доступа, что способствует более эффективному проведению анестезии зубов на нижней челюсти.